

# Um Estudo sobre Computação Quântica

Márcio Dias de Oliveira Junior

Universidade Federal de Minas Gerais (UFMG)  
Instituto de Ciências Exatas (ICEx)  
Especialização em Matemática

Orientador: Prof. Dr. Csaba Schneider

Belo Horizonte – MG  
2026

# Roteiro

1 Contexto e objetivos

2 Base matemática

3 Postulados da mecânica quântica

- Postulado 1 - Espaço de estados
- Postulado 2 - Evolução
- Postulado 3 - Medição quântica
- Postulado 4 - Sistemas compostos

4 Circuitos quânticos

5 Exemplos de algoritmos quânticos

- Algoritmo de Grover
- QAOA

# Contexto e objetivos

- Apresentar a base matemática para descrever sistemas quânticos:
  - Espaços de Hilbert
  - Operadores lineares
  - Produto tensorial
- Introduzir o modelo de computação quântica a partir dos postulados
- Implementar e discutir os algoritmos:
  - **Algoritmo de Grover** (busca não-estruturada);
  - **QAOA** aplicado ao **MaxCut**.

## Notação Bra-Ket

A notação  $|\psi\rangle$  (ket) foi introduzida por Paul Dirac.

### Interpretação:

- $|\psi\rangle$  representa um vetor em um espaço de Hilbert  $\mathcal{H}$ .
- $\langle\psi|$  representa o funcional linear associado (vetor dual) relativo ao produto interno.

Produto interno:

$$\langle\phi|\psi\rangle$$

Assumindo um base ortonormal de  $\mathcal{H}$  e com produto interno canônico podemos identificar:

$$|\psi\rangle = \begin{bmatrix} \psi_0 \\ \psi_1 \\ \vdots \end{bmatrix} \quad \text{e} \quad \langle\psi| = [\psi_0^*, \psi_1^*, \dots].$$

# A base computacional

No caso de um qubit:

$$\mathcal{H} = \mathbb{C}^2.$$

A base computacional é definida por:

$$|0\rangle = \begin{bmatrix} 1 \\ 0 \end{bmatrix}, \quad |1\rangle = \begin{bmatrix} 0 \\ 1 \end{bmatrix}.$$

Propriedades:

$$\langle 0|0\rangle = \langle 1|1\rangle = 1, \quad \langle 0|1\rangle = \langle 1|0\rangle = 0.$$

Ou seja,  $\{|0\rangle, |1\rangle\}$  é uma base ortonormal.

## Espaços de Hilbert

Um espaço de Hilbert  $\mathcal{H}$  é um espaço vetorial com produto interno  $\langle \cdot | \cdot \rangle$  e que é completo na norma induzida:

$$\| |\psi \rangle \| = \sqrt{\langle \psi | \psi \rangle}.$$

**Exemplo (qubit):**  $\mathcal{H} = \mathbb{C}^2$  com base  $\{|0\rangle, |1\rangle\}$  e produto interno canônico.

$$|\psi\rangle = a|0\rangle + b|1\rangle, \quad |a|^2 + |b|^2 = 1.$$

# Operadores lineares

Um **operador linear**  $A : \mathcal{H} \rightarrow \mathcal{H}$  satisfaz

$$A(\alpha|\psi\rangle + \beta|\phi\rangle) = \alpha A|\psi\rangle + \beta A|\phi\rangle.$$

**Adjunto:** Dada a representação matricial de  $A$  temos

$$A^\dagger = (A^T)^* = (A^*)^T$$

**Classes importantes:**

- **Hermitiano:**  $A = A^\dagger$ .
- **Unitário:**  $U^\dagger U = I$ .
- **Projeção:**  $P^2 = P$  e  $P^\dagger = P$ .

## Operadores em base ortonormal (matriz)

Fixe bases ortonormais  $\{|i\rangle\}_{i=1}^n$  e  $\{|j\rangle\}_{j=1}^n$ .

**Componentes (elementos de matriz):**

$$A_{ij} = \langle i | A | j \rangle.$$

**Expansão do operador (forma *ket por bra*):**

$$A = \sum_{i,j}^n \langle i | A | j \rangle |i\rangle\langle j| = \sum_{i,j}^n A_{ij} |i\rangle\langle j|.$$

**Relação de completude:**

$$\sum_{i=0}^n |i\rangle\langle i| = I$$

## Produto tensorial

Dados dois espaços de Hilbert  $\mathcal{H}_A$  e  $\mathcal{H}_B$  podemos construir o espaço tensorial (que também é um espaço de Hilbert):

$$\mathcal{H}_{AB} = \mathcal{H}_A \otimes \mathcal{H}_B.$$

Se  $\{|i\rangle\}_{i=1}^n$  é base de  $\mathcal{H}_A$  e  $\{|j\rangle\}_{j=1}^m$  é base de  $\mathcal{H}_B$ , então  $\{|i\rangle \otimes |j\rangle\}$  é base de  $\mathcal{H}_A \otimes \mathcal{H}_B$ .

**Dimensão:**

$$\dim(\mathcal{H}_A \otimes \mathcal{H}_B) = \dim(\mathcal{H}_A) \cdot \dim(\mathcal{H}_B) = n \cdot m.$$

**Exemplo (2 qubits):**  $\mathbb{C}^2 \otimes \mathbb{C}^2 \simeq \mathbb{C}^4$  com base  $\{|00\rangle, |01\rangle, |10\rangle, |11\rangle\}$ , onde  $|00\rangle = |0\rangle \otimes |0\rangle$ ,  $|01\rangle = |0\rangle \otimes |1\rangle \dots$

# Operadores em espaços tensoriais

Se  $A$  atua em  $\mathcal{H}_A$  e  $B$  atua em  $\mathcal{H}_B$ , define-se  $A \otimes B$  por:

$$(A \otimes B)(|\psi\rangle \otimes |\phi\rangle) = A|\psi\rangle \otimes B|\phi\rangle.$$

**Aplicação típica:** portas que atuam em um qubit de um registrador:

$$U_k = I \otimes \cdots \otimes I \otimes U \otimes I \otimes \cdots \otimes I.$$

## Produto de Kronecker

O **produto de Kronecker** é a representação matricial do produto tensorial.

Se  $A \in \mathbb{C}^{m \times n}$  e  $B \in \mathbb{C}^{p \times q}$ , define-se

$$A \otimes B = \begin{pmatrix} a_{11}B & a_{12}B & \cdots & a_{1n}B \\ a_{21}B & a_{22}B & \cdots & a_{2n}B \\ \vdots & \vdots & \ddots & \vdots \\ a_{m1}B & a_{m2}B & \cdots & a_{mn}B \end{pmatrix} \in \mathbb{C}^{mp \times nq}.$$

**Exemplo (2 qubits):**

$$X \otimes I = \begin{pmatrix} 0 & 1 \\ 1 & 0 \end{pmatrix} \otimes \begin{pmatrix} 1 & 0 \\ 0 & 1 \end{pmatrix} = \begin{pmatrix} 0 & 0 & 1 & 0 \\ 0 & 0 & 0 & 1 \\ 1 & 0 & 0 & 0 \\ 0 & 1 & 0 & 0 \end{pmatrix}.$$

Interpretação física: aplicar  $X$  no primeiro qubit e identidade no segundo.

## Postulado 1 - Espaço de estados

**Postulado 1.** A um sistema físico isolado associa-se um **espaço de Hilbert complexo  $\mathcal{H}$** , chamado *espaço de estados* do sistema. O estado do sistema é completamente descrito por um **vetor unitário**  $|\psi\rangle \in \mathcal{H}$ .

**Equivalência (a menos de uma fase global).** Estados que diferem por uma fase global representam o mesmo estado:

$$|\psi\rangle \sim e^{i\alpha}|\psi\rangle.$$

## Postulado 1 - Qubit e parametrização (Esfera de Bloch)

Para um qubit,  $\mathcal{H} = \mathbb{C}^2$ , na base computacional  $\{|0\rangle, |1\rangle\}$ :

$$|\psi\rangle = a|0\rangle + b|1\rangle, \quad |a|^2 + |b|^2 = 1.$$

Removendo a fase global, pode-se escrever (a menos da equivalência):

$$|\psi\rangle = \cos\left(\frac{\theta}{2}\right)|0\rangle + e^{i\varphi}\sin\left(\frac{\theta}{2}\right)|1\rangle, \quad 0 \leq \theta \leq \pi, \quad 0 \leq \varphi < 2\pi.$$

**Leitura geométrica:** o par  $(\theta, \varphi)$  identifica um ponto na Esfera de Bloch, com vetor

$$\vec{r} = (\sin \theta \cos \varphi, \sin \theta \sin \varphi, \cos \theta).$$

## Postulado 1 - Qubit e parametrização (Esfera de Bloch)

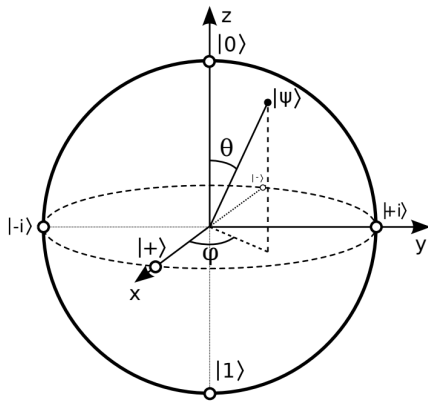


Figura 1: Estado  $|\psi\rangle$  representado na Esfera de Bloch.

## Postulado 2 - Evolução

**Postulado 2.** A evolução temporal de um sistema quântico **fechado** é descrita por uma **transformação unitária**. Se o estado no instante  $t_1$  é  $|\psi\rangle$ , então no instante  $t_2$ :

$$|\psi'\rangle = U|\psi\rangle,$$

onde  $U$  depende apenas do sistema e dos instantes  $t_1, t_2$ , e satisfazendo

$$U^\dagger U = UU^\dagger = I.$$

**Consequências:**

- Preservação de norma:  $\||\psi'\rangle\| = \||\psi\rangle\|$ .
- Reversibilidade:  $U^{-1} = U^\dagger$ .
- Portas quânticas em circuitos são operadores unitários.

## Postulado 2 - Exemplos e evolução contínua

**Exemplos (Pauli).**

$$X = \begin{pmatrix} 0 & 1 \\ 1 & 0 \end{pmatrix}, \quad Z = \begin{pmatrix} 1 & 0 \\ 0 & -1 \end{pmatrix} \quad \Rightarrow \quad X|0\rangle = |1\rangle, \quad X|1\rangle = |0\rangle, \quad Z|1\rangle = -|1\rangle.$$

**Exemplo (Hadamard).**

$$H = \frac{1}{\sqrt{2}} \begin{pmatrix} 1 & 1 \\ 1 & -1 \end{pmatrix}, \quad H|0\rangle = \frac{1}{\sqrt{2}}(|0\rangle + |1\rangle) = |+\rangle.$$

## Postulado 2 - Evolução Contínua

A dinâmica contínua é governada pela **equação de Schrödinger dependente do tempo**:

$$i\hbar \frac{d}{dt} |\psi(t)\rangle = H(t) |\psi(t)\rangle,$$

onde:  $H(t)$  é o **Hamiltoniano** (operador hermitiano) e  $\hbar$  é a constante de Planck.

**Caso independente do tempo:**

$$U(t_2, t_1) = \exp\left(-\frac{i}{\hbar} H(t_2 - t_1)\right).$$

**Caso dependente do tempo:**

$$U(t_2, t_1) = \mathcal{T} \exp\left(-\frac{i}{\hbar} \int_{t_1}^{t_2} H(s) ds\right),$$

onde  $\mathcal{T}$  é o operador de ordenação temporal.

## Postulado 3 - Medição

**Postulado 3.** Medições quânticas são descritas por um conjunto de operadores  $\{M_i\}_{i=1}^m$  (operadores de medição) que satisfazem a **relação de completude**:

$$\sum_{i=1}^m M_i^\dagger M_i = I.$$

Se o sistema está no estado  $|\psi\rangle$ :

- **Probabilidade** do resultado  $i$ :

$$p(i) = \langle \psi | M_i^\dagger M_i | \psi \rangle.$$

- **Estado pós-medida** (condicionado ao resultado  $i$ ):

$$|\psi'\rangle = \frac{M_i |\psi\rangle}{\sqrt{p(i)}}.$$

**Intuição:** A medição, em geral, introduz aleatoriedade.

## Postulado 3 - Medição projetiva

**Medição projetiva.** Um caso importante ocorre quando  $M_i = P_i$  são projetores ortogonais:

$$P_i^2 = P_i, \quad P_i^\dagger = P_i, \quad P_i P_j = 0 \ (i \neq j), \quad \sum_i P_i = I.$$

**Exemplo: medição na base computacional.**

$$M_0 = |0\rangle\langle 0|, \quad M_1 = |1\rangle\langle 1|, \quad I = M_0 + M_1.$$

Se

$$|\psi\rangle = a|0\rangle + b|1\rangle,$$

então:

$$p(0) = |a|^2, \quad p(1) = |b|^2, \quad |\psi_0\rangle = |0\rangle, \quad |\psi_1\rangle = |1\rangle.$$

**Em outras palavras:** Ao medir “colapsamos” o estado para um autovetor compatível com o resultado obtido.

## Postulado 4 - Sistemas compostos

**Postulado 4.** O espaço de estados de um sistema composto por dois subsistemas  $A$  e  $B$  é o **produto tensorial** dos espaços individuais:

$$\mathcal{H}_{AB} = \mathcal{H}_A \otimes \mathcal{H}_B.$$

Se  $\{|j\rangle\}_{j=1}^n$  é base de  $\mathcal{H}_A$  e  $\{|k\rangle\}_{k=1}^m$  é base de  $\mathcal{H}_B$ , então  $\{|i\rangle \otimes |j\rangle\}$  é base de  $\mathcal{H}_{AB}$ .

**Dimensão:**

$$\dim(\mathcal{H}_A \otimes \mathcal{H}_B) = \dim(\mathcal{H}_A) \cdot \dim(\mathcal{H}_B).$$

**Operadores em sistemas compostos:**

$$(A \otimes B)(|\psi\rangle \otimes |\phi\rangle) = A|\psi\rangle \otimes B|\phi\rangle.$$

## Postulado 4 - Estados separáveis e emaranhamento

**Estados produto (separáveis).** Um estado é separável se pode ser escrito como

$$|\psi_{AB}\rangle = |\psi_A\rangle \otimes |\psi_B\rangle.$$

**Emaranhamento.** Existem estados do sistema composto que *não* podem ser escritos como produto tensorial. Exemplo (estado de Bell):

$$|\beta_{00}\rangle = \frac{1}{\sqrt{2}}(|00\rangle + |11\rangle) \in \mathbb{C}^2 \otimes \mathbb{C}^2.$$

**Ideia da prova (esboço):** assumindo  $|\beta_{00}\rangle = (a|0\rangle + b|1\rangle) \otimes (c|0\rangle + d|1\rangle)$ , os coeficientes exigiriam simultaneamente  $ac = \frac{1}{\sqrt{2}}$ ,  $bd = \frac{1}{\sqrt{2}}$ , e  $ad = bc = 0$ , o que é impossível.

# Circuitos quânticos

A computação quântica no modelo de circuitos é descrita por:

**Estado inicial** → **Portas unitárias** → **Medição**

Formalmente:

$$|\psi_{\text{out}}\rangle = U_k \cdots U_2 U_1 |\psi_{\text{in}}\rangle$$

onde cada  $U_i$  é unitário.

**Componentes fundamentais:**

- Registradores de qubits
- Portas unitárias
- Medição na base computacional

## Registradores e estados iniciais

Um circuito com  $n$  qubits atua sobre:

$$\mathcal{H} = (\mathbb{C}^2)^{\otimes n}$$

Estado inicial padrão:

$$|0\rangle^{\otimes n} = |00 \cdots 0\rangle$$

Estado geral:

$$|\psi\rangle = \sum_{x \in \{0,1\}^n} \alpha_x |x\rangle \quad \text{com} \quad \sum_x |\alpha_x|^2 = 1.$$

Dimensão do espaço:

$$\dim(\mathcal{H}) = 2^n.$$

## Portas de 1 qubit

Uma porta de 1 qubit é um operador unitário  $U : \mathbb{C}^2 \rightarrow \mathbb{C}^2$ .

Exemplos:

$$X = \begin{pmatrix} 0 & 1 \\ 1 & 0 \end{pmatrix}, \quad Z = \begin{pmatrix} 1 & 0 \\ 0 & -1 \end{pmatrix},$$

$$H = \frac{1}{\sqrt{2}} \begin{pmatrix} 1 & 1 \\ 1 & -1 \end{pmatrix}.$$

Aplicação em  $n$  qubits:

$$H_k = I \otimes \cdots \otimes H \otimes \cdots \otimes I.$$

## Portas de múltiplos qubits

Portas que atuam simultaneamente em dois ou mais qubits introduzem correlações.

Exemplo: **CNOT**

$$\text{CNOT}|x, y\rangle = |x, y \oplus x\rangle.$$

Matriz:

$$\begin{pmatrix} 1 & 0 & 0 & 0 \\ 0 & 1 & 0 & 0 \\ 0 & 0 & 0 & 1 \\ 0 & 0 & 1 & 0 \end{pmatrix}.$$

## Emaranhamento: Estados de Bell

**Construção a partir de  $|00\rangle$ :**

Aplicando  $H$  no primeiro qubit e depois  $\text{CNOT}_{1,2}$ :

$$\begin{aligned} |00\rangle &\xrightarrow{H \otimes I} \frac{1}{\sqrt{2}}(|00\rangle + |10\rangle) \\ &\xrightarrow{\text{CNOT}} \frac{1}{\sqrt{2}}(|00\rangle + |11\rangle) \\ &= |\beta_{00}\rangle. \end{aligned}$$

**Os quatro estados de Bell:**

$$\begin{aligned} |\beta_{00}\rangle &= \frac{1}{\sqrt{2}}(|00\rangle + |11\rangle), & |\beta_{01}\rangle &= \frac{1}{\sqrt{2}}(|01\rangle + |10\rangle), \\ |\beta_{10}\rangle &= \frac{1}{\sqrt{2}}(|00\rangle - |11\rangle), & |\beta_{11}\rangle &= \frac{1}{\sqrt{2}}(|01\rangle - |10\rangle). \end{aligned}$$

## Profundidade do circuito

**Profundidade:** número máximo de camadas de portas que devem ser aplicadas sequencialmente.

O circuito a baixo tem profundidade 2.

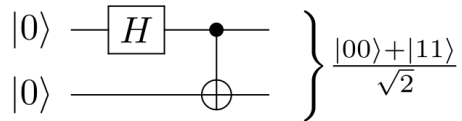


Figura 2: Circuito para geração do estado  $|\beta_{00}\rangle$ .

## Universalidade

Um conjunto de portas é **universal** se pode aproximar qualquer operador unitário com precisão arbitrária.

Exemplo de conjunto universal:

$$\{H, T, \text{CNOT}\}$$

onde

$$T = \begin{pmatrix} 1 & 0 \\ 0 & e^{i\pi/4} \end{pmatrix}.$$

# Medição no modelo de circuitos

Ao final do circuito, mede-se na base computacional:

$$\{|x\rangle\langle x|\}_{x \in \{0,1\}^n}.$$

Probabilidade de obter  $x$ :

$$P(x) = |\alpha_x|^2.$$

Resultado clássico produzido pelo circuito:

$$x \in \{0,1\}^n.$$

Assim, um circuito quântico implementa uma **distribuição de probabilidade** sobre sequências binárias.

# Teorema da Não clonagem

## Theorem (Teorema da não clonagem para um qubit)

*Não existem  $|s\rangle \in \mathbb{C}^2$  e  $U : \mathbb{C}^4 \rightarrow \mathbb{C}^4$ , um operador unitário, tais que  $U(|\psi\rangle \otimes |s\rangle) = |\psi\rangle \otimes |\psi\rangle$  para todo  $|\psi\rangle \in \mathbb{C}^2$ . Em outras palavras, não é possível construir um circuito quântico que realize a cópia de um qubit arbitrário  $|\psi\rangle$ .*

## Teorema da Não clonagem

Se a cópia funciona para os estados  $|\psi\rangle$  e  $|\varphi\rangle$ , temos

$$\begin{aligned}U(|\psi\rangle \otimes |s\rangle) &= |\psi\rangle \otimes |\psi\rangle \\U(|\varphi\rangle \otimes |s\rangle) &= |\varphi\rangle \otimes |\varphi\rangle.\end{aligned}$$

Ao tomar o produto interno das equações acima temos

$$\begin{aligned}\langle U(|\psi\rangle \otimes |s\rangle) | U(|\varphi\rangle \otimes |s\rangle) \rangle &= \langle (|\psi\rangle \otimes |s\rangle) | (|\varphi\rangle \otimes |s\rangle) \rangle \\&= \langle \psi | \varphi \rangle \\&= \langle (|\psi\rangle \otimes |\varphi\rangle) | (|\psi\rangle \otimes |\varphi\rangle) \rangle \\&= \langle \psi | \varphi \rangle^2,\end{aligned}$$

portanto,

$$\langle \psi | \varphi \rangle = \langle \psi | \varphi \rangle^2 \implies \langle \psi | \varphi \rangle = 0 \text{ ou } \langle \psi | \varphi \rangle = 1,$$

que só é possível se  $|\varphi\rangle = |\psi\rangle$  ou se  $|\varphi\rangle$  e  $|\psi\rangle$  são ortogonais.

# Teleporte Quântico: cenário e objetivo

**Objetivo:** transferir um qubit desconhecido

$$|\psi\rangle = a|0\rangle + b|1\rangle$$

de Alice para Bob sem um canal de comunicação quântica entre eles.

**Cenário:**

- Alice e Bob compartilham previamente um par EPR (assuma  $|\beta_{00}\rangle$ ).
- Anos depois, Alice precisa entregar o estado  $|\psi\rangle$  a Bob.
- Alice pode enviar apenas **informação clássica** para Bob.

**Ideia:** usar emaranhamento + 2 bits clássicos + operações locais em Bob.

# Pontos importantes

## Dificuldades fundamentais:

- Alice possui *apenas uma cópia* de  $|\psi\rangle$ .
- Pelo **teorema da não-clonagem**, ela não pode copiar  $|\psi\rangle$ .
- Uma medição direta altera o estado, pois o estado pós-medida depende do resultado.

Mesmo que Alice conhecesse  $|\psi\rangle$ , descrevê-lo exatamente exigiria especificar parâmetros em um conjunto contínuo.

**Solução:** explorar o par EPR compartilhado para reconstruir  $|\psi\rangle$  em Bob.

# Círculo do teleporte

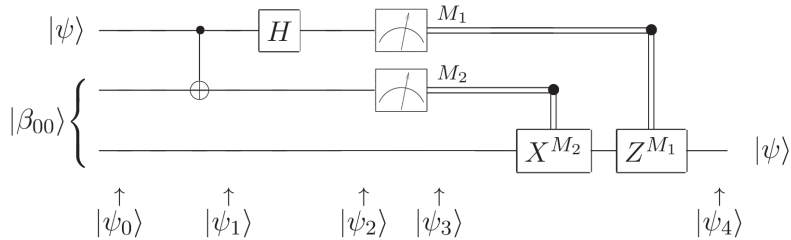


Figura 3: Círculo quântico para teleporte de um qubit.

## Resumo operacional:

- Alice aplica CNOT e Hadamard em seus qubits, mede e obtém dois bits.
- Alice envia os 2 bits a Bob (canal clássico).
- Bob aplica uma correção  $I$ ,  $X$ ,  $Z$  ou  $XZ$ .

## Estado de entrada e aplicação do CNOT

Assuma  $|\psi\rangle = a|0\rangle + b|1\rangle$  e o par EPR  $|\beta_{00}\rangle = \frac{1}{\sqrt{2}}(|00\rangle + |11\rangle)$ .

**Estado de entrada:**

$$\begin{aligned} |\psi_0\rangle &= |\psi\rangle \otimes |\beta_{00}\rangle \\ &= \frac{1}{\sqrt{2}} \left( a|0\rangle \otimes (|00\rangle + |11\rangle) + b|1\rangle \otimes (|00\rangle + |11\rangle) \right). \end{aligned}$$

Convenção: os dois primeiros qubits são de Alice e o terceiro é de Bob.

**Após CNOT (controle = qubit  $|\psi\rangle$ ; alvo = metade do EPR de Alice):**

$$|\psi_1\rangle = \frac{1}{\sqrt{2}} \left( a|0\rangle \otimes (|00\rangle + |11\rangle) + b|1\rangle \otimes (|10\rangle + |01\rangle) \right).$$

## Aplicação do Hadamard e decomposição em 4 casos

Após aplicar Hadamard no primeiro qubit de Alice:

$$\begin{aligned} |\psi_2\rangle &= \frac{1}{2} \left( a(|0\rangle + |1\rangle) \otimes (|00\rangle + |11\rangle) + b(|0\rangle - |1\rangle) \otimes (|10\rangle + |01\rangle) \right) \\ &= \frac{1}{2} \left( \begin{array}{l} + |00\rangle(a|0\rangle + b|1\rangle) \\ + |01\rangle(a|1\rangle + b|0\rangle) \\ + |10\rangle(a|0\rangle - b|1\rangle) \\ + |11\rangle(a|1\rangle - b|0\rangle) \end{array} \right). \end{aligned}$$

Os qubits de Alice determinam um dentre quatro termos (resultados clássicos 00, 01, 10, 11).

# Medição de Alice, comunicação clássica e correções de Bob

**Estado de Bob condicionado ao resultado de Alice:**

$$00 \mapsto |\psi_3(00)\rangle = a|0\rangle + b|1\rangle$$

$$01 \mapsto |\psi_3(01)\rangle = a|1\rangle + b|0\rangle$$

$$10 \mapsto |\psi_3(10)\rangle = a|0\rangle - b|1\rangle$$

$$11 \mapsto |\psi_3(11)\rangle = a|1\rangle - b|0\rangle$$

**Correção em Bob:**

- 00:  $I$  (não faz nada)
- 01: aplica  $X$
- 10: aplica  $Z$
- 11: aplica  $X$  e depois  $Z$

# Teleporte quântico (Qiskit)

Implementação em Qiskit (quantum-teleportation.ipynb).

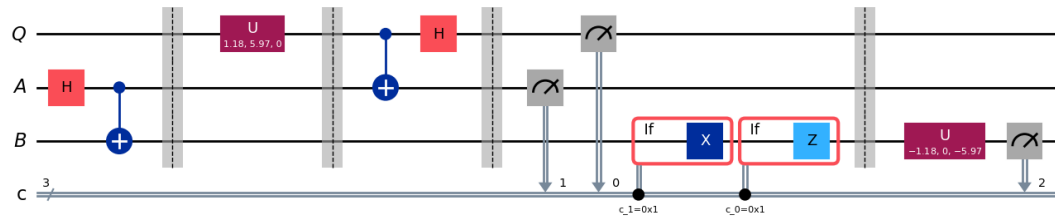


Figura 4: Diagrama do circuito para o teleporte quântico.

# Teleporte quântico (Qiskit)

Qubit teleportado sempre aparece com resultado  $|0\rangle$ .

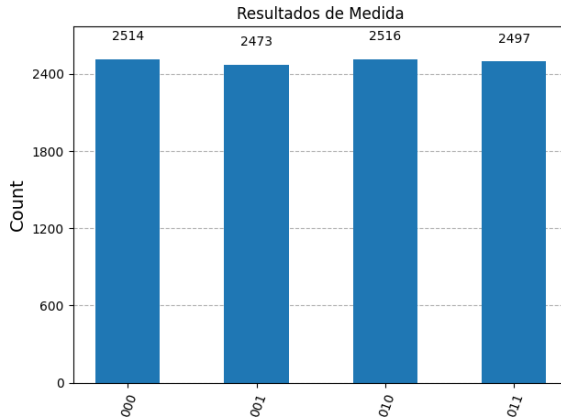


Figura 5: Histograma para simulação de medições no circuito do teleporte quântico.

# Comparativo

## Computação Clássica

- Unidade básica: bit (0 ou 1)
- Estados discretos em  $\{0, 1\}^n$
- Funções booleanas
- Operações podem ser irreversíveis
- Cópia de bits
- Medição não altera o estado

## Computação Quântica

- Unidade básica: qubit ( $|0\rangle$ ,  $|1\rangle$ )
- Espaço de Hilbert de dimensão  $2^n$
- Operadores unitários
- Todas as operações são reversíveis
- Não clonagem de qubits
- Medição colapsa o estado

# Problema de Busca Não-Estruturada

Seja  $N = 2^n$  e o conjunto de estados computacionais

$$\{x \mid x \in \{0, 1\}^n\}.$$

Desejamos encontrar  $x^*$  tal que

$$f(x^*) = \begin{cases} 1, & \text{se } x = x^* \\ 0, & \text{caso contrário.} \end{cases}$$

**Oráculo quântico:**

$$U_f|x\rangle = (-1)^{f(x)}|x\rangle.$$

- $U_f$  aplica fase  $-1$  apenas no estado marcado.
- Não há estrutura conhecida em  $f$ .
- Busca clássica:  $O(N)$ .

## Estado inicial

Aplicamos Hadamard em todos os qubits:

$$|s\rangle = H^{\otimes n} |0\rangle^{\otimes n} = \frac{1}{\sqrt{N}} \sum_{x \in \{0,1\}^n} |x\rangle.$$

Definimos o estado ortogonal ao estado marcado:

$$|x_\perp^*\rangle = \frac{1}{\sqrt{N-1}} \sum_{x \neq x^*} |x\rangle.$$

O estado  $|s\rangle$  pertence ao subespaço  $V$  gerado por  $\{|x^*\rangle, |x_\perp^*\rangle\}$ :

$$|s\rangle = \sin(\theta) |x^*\rangle + \cos(\theta) |x_\perp^*\rangle, \quad \sin(\theta) = \frac{1}{\sqrt{N}}, \quad \cos(\theta) = \sqrt{\frac{N-1}{N}}.$$

## Ação do Oráculo no subespaço

No subespaço  $V$ :

$$U_f = \begin{pmatrix} -1 & 0 \\ 0 & 1 \end{pmatrix}, \quad |s\rangle = \begin{bmatrix} \sin \theta \\ \cos \theta \end{bmatrix}$$

- Inverte o sinal do estado marcado.
- Mantém os demais estados invariantes.
- A dinâmica ocorre apenas em um espaço de dimensão 2.

## Operador difusor

Definimos no subespaço  $V$

$$D = 2|s\rangle\langle s| - I = \begin{pmatrix} -\cos(2\theta) & \sin(2\theta) \\ \sin(2\theta) & \cos(2\theta) \end{pmatrix}.$$

Como  $|s\rangle\langle s| = (H^{\otimes n}|0\rangle)(\langle 0|H^{\otimes n})$ , podemos implementar  $D$  como:

$$D = H^{\otimes n}(2|0\rangle\langle 0| - I)H^{\otimes n}.$$

**Interpretação:** reflexão em torno de  $|s\rangle$ .

# Iteração de Grover

Definimos:

$$G = DU_f.$$

No subespaço  $V$ :

$$G = \begin{pmatrix} \cos(2\theta) & \sin(2\theta) \\ -\sin(2\theta) & \cos(2\theta) \end{pmatrix}.$$

- $G$  é uma rotação no plano  $V$ .
- A cada iteração, a amplitude do estado marcado aumenta.

## Evolução Após $r$ iterações

$$G^r |s\rangle = \sin((2r+1)\theta) |x^\star\rangle + \cos((2r+1)\theta) |x_\perp^\star\rangle.$$

Probabilidade de medir o estado marcado:

$$P(r) = \sin^2((2r+1)\theta).$$

**Objetivo:** maximizar  $P(r)$ .

# Número ótimo de iterações

Queremos:

$$(2r + 1)\theta \approx \frac{\pi}{2}.$$

Logo,

$$r \approx \frac{\pi}{4\theta} - \frac{1}{2}.$$

Como  $\theta \approx \frac{1}{\sqrt{N}}$ :

$$r \approx \left\lfloor \frac{\pi}{4} \sqrt{N} \right\rfloor.$$

O algoritmo encontra  $x^*$  com alta probabilidade usando  $O(\sqrt{N})$  invocações do oráculo.

## Caso com $M$ Soluções

Definimos

$$|x^*\rangle = \frac{1}{\sqrt{M}} \sum_{f(x)=1} |x\rangle, \quad |x_\perp^*\rangle = \frac{1}{\sqrt{N-M}} \sum_{f(x)=0} |x\rangle.$$

Assim,

$$|s\rangle = \frac{1}{\sqrt{N}} \sum_{x \in \{0,1\}^n} |x\rangle = \frac{M}{N} |x^*\rangle + \frac{N-M}{N} |x_\perp^*\rangle.$$

Tomando  $\sin \theta = \sqrt{M/N}$  obtemos de forma análoga

$$r \approx \left\lfloor \frac{\pi}{4} \sqrt{\frac{N}{M}} \right\rfloor.$$

# Algoritmo de Grover (Qiskit)

Implementação em Qiskit (grovers-algorithm.ipynb).

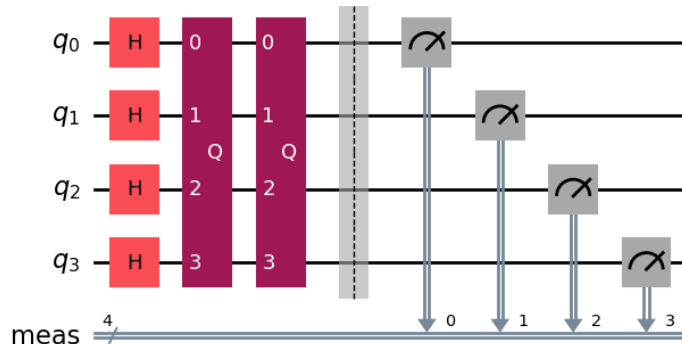


Figura 6: Diagrama do circuito quântico para o algoritmo de Grover para quatro qubits.

# Algoritmo de Grover (Qiskit)

Estados marcados aparecem com maior frequência.

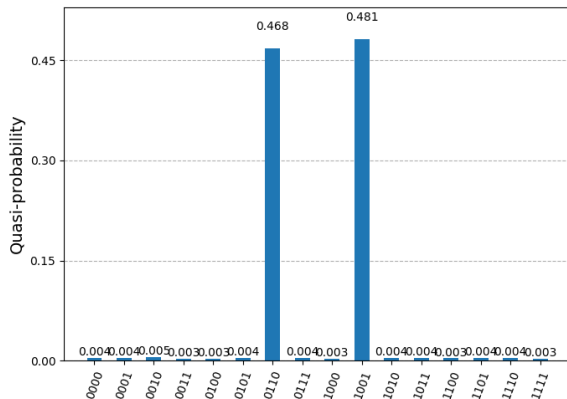


Figura 7: Histograma de medição para o algoritmo de Grover.

# Problemas de Otimização Combinatória

Seja  $X = \{0, 1\}^n$  o conjunto de soluções (strings binárias)

$$z = z_1 z_2 \cdots z_n \in \{0, 1\}^n.$$

Um problema de otimização combinatória é dado por funções locais

$$C_\alpha : X \rightarrow \{0, 1\}, \quad \alpha = 1, \dots, m,$$

e pela função objetivo

$$C(z) = \sum_{\alpha=1}^m C_\alpha(z).$$

- Objetivo: encontrar  $z$  que maximize  $C(z)$  (solução ótima).
- Otimização aproximada: buscar  $z$  com  $C(z)$  próximo do máximo.
- Hipótese de *localidade*: cada  $C_\alpha$  é implementável com  $O(1)$  portas.

## Mapeamento para um espaço de Hilbert

Considere o espaço de Hilbert gerado pelas sequências binárias de comprimento  $n$

$$\mathcal{H} = \{|z\rangle : z \in X\}, \quad \dim(\mathcal{H}) = 2^n,$$

com decomposição

$$\mathcal{H} = \mathcal{H}_1 \otimes \cdots \otimes \mathcal{H}_n,$$

onde cada  $H_i$  tem dimensão 2 (um qubit).

A função objetivo define um operador diagonal (hermitiano) na base computacional:

$$C = \sum_{z \in X} C(z)|z\rangle\langle z|.$$

Logo,  $|z\rangle$  são autovetores de  $C$ :

$$C|z\rangle = C(z)|z\rangle.$$

# Operador de custo

Como  $C$  é hermitiano, definimos o operador unitário de custo:

$$U(C, \gamma) = \prod_{\alpha=1}^m e^{-i\gamma C_\alpha} = e^{-i\gamma C}, \quad \gamma \in [0, 2\pi).$$

- Em geral, produtos de exponenciais podem não comutar.
- Aqui, cada  $C_\alpha$  é diagonal na base computacional  $\Rightarrow$  comutam entre si.
- Implementação em circuito: profundidade máxima  $O(m)$  (uma camada por termo local).

## Operador de mistura

Defina, para cada qubit  $j$ ,

$$X_j = I \otimes \cdots \otimes I \otimes X \otimes I \otimes \cdots \otimes I,$$

e

$$B = \sum_{j=1}^n X_j.$$

O operador unitário de mistura é

$$U(B, \beta) = \prod_{j=1}^n e^{-i\beta X_j} = e^{-i\beta B}, \quad \beta \in [0, \pi).$$

Além disso, podemos implementar  $U(B, \beta)$  com  $O(1)$  portas

$$U(B, \beta) = \bigotimes_{j=1}^n R_x(2\beta).$$

## Inicialização: estado uniforme

Inicializamos em

$$|\psi\rangle = |0\rangle^{\otimes n},$$

e aplicamos  $H^{\otimes n}$ :

$$|s\rangle = H^{\otimes n} |0\rangle^{\otimes n} = \frac{1}{\sqrt{2^n}} \sum_{z \in X} |z\rangle.$$

## Estado variacional do QAOA (profundidade $p$ )

Para  $p \geq 1$ , dados ângulos

$$\gamma_1, \dots, \gamma_p, \quad \beta_1, \dots, \beta_p,$$

definimos o estado

$$|\gamma, \beta\rangle = U(B, \beta_p)U(C, \gamma_p) \cdots U(B, \beta_1)U(C, \gamma_1)|s\rangle.$$

Forma compacta:

$$|\gamma, \beta\rangle = \prod_{l=p}^1 e^{-i\beta_l B} e^{-i\gamma_l C} |s\rangle.$$

- Cada camada aplica (custo)  $\rightarrow$  (mistura).
- Profundidade máxima:  $O(mp)$  (custo:  $O(m)$ ; mistura:  $O(1)$ ).

## Função objetivo do QAOA

A qualidade do estado é medida pela expectativa ou média:

$$F_p(\gamma, \beta) = \langle \gamma, \beta | C | \gamma, \beta \rangle.$$

Definimos o melhor valor atingível com profundidade  $p$ :

$$M_p = \max_{\gamma, \beta} F_p(\gamma, \beta).$$

Monotonicidade:

$$M_p \geq M_{p-1},$$

pois é sempre possível escolher  $\gamma_p = \beta_p = 0$  e “simular” a profundidade menor.

## Limite superior via princípio variacional

Se  $C$  tem decomposição espectral

$$C = \sum_{i=1}^m c_i |e_i\rangle\langle e_i|, \quad c_1 \geq c_2 \geq \dots \geq c_m \geq 0,$$

então para qualquer estado normalizado  $|\psi\rangle$ :

$$\langle\psi|C|\psi\rangle \leq c_1, \quad \text{e} \quad \max_{\|\psi\|=1} \langle\psi|C|\psi\rangle = c_1.$$

- O ótimo “global” é atingido no autoespaço do maior autovalor.
- No QAOA, os estados permitidos são restritos à família  $|\gamma, \beta\rangle$ .

Ideia central: aproximar o ótimo aumentando  $p$

Em geral, pode não existir  $(\gamma, \beta)$  tal que

$$|\gamma, \beta\rangle = |e_1\rangle.$$

No entanto, aumentando  $p$ , a família de estados variacionais enriquece e (sob hipóteses do artigo) obtém-se:

$$\lim_{p \rightarrow \infty} M_p = \max_{z \in X} C(z).$$

- Interpretação: maior expressividade do circuito com mais camadas.
- A seguir: conexão informal com evolução adiabática + discretização.

## Fórmula de Lie–Trotter (ponte para discretização)

Para operadores hermitianos  $B$  e  $C$ ,

$$e^{i(B+C)\Delta t} = e^{iB\Delta t} e^{iC\Delta t} + O(\Delta t^2),$$

onde o erro é entendido na norma de operadores:

$$\|e^{i(B+C)\Delta t} - e^{iB\Delta t} e^{iC\Delta t}\| \leq c \Delta t^2.$$

- Aproxima a exponencial do hamiltoniano somado por produto de exponenciais.
- Permite implementar evolução composta usando blocos simples (custo/mistura).

## Evolução adiabática: visão contínua (QAA)

Com  $\hbar = 1$ , a evolução temporal com hamiltoniano  $H(t)$  é

$$U(t_1, t_2) = \mathcal{T} \exp\left(-i \int_{t_1}^{t_2} H(t) dt\right), \quad |\psi(T)\rangle = U(T)|\psi(0)\rangle.$$

No QAA, usa-se interpolação linear:

$$H(t) = \left(1 - \frac{t}{T}\right) B + \frac{t}{T} C, \quad t \in [0, T],$$

com  $H(0) = B$  e  $H(T) = C$ .

Teorema adiabático (ideia): para  $T$  grande e boa lacuna espectral,

$|\psi(T)\rangle \approx$  autovetor de maior autovalor de  $C$ .

## Discretização do QAA

Divida  $[0, T]$  em  $p$  subintervalos de tamanho  $\Delta t = T/p$  e pontos  $t_I = I\Delta t$ .

$$U(T) = \prod_{I=p-1}^0 U(t_I, t_{I+1}).$$

Aproximando o hamiltoniano por seu valor em  $t_I$ :

$$U(t_I, t_{I+1}) \approx e^{-i\Delta t((1-s_I)B+s_I C)}, \quad s_I = \frac{I}{p}.$$

Aplicando Lie-Trotter:

$$e^{-i\Delta t((1-s_I)B+s_I C)} \approx e^{-i\beta_I B} e^{-i\gamma_I C},$$

com

$$\beta_I = \Delta t(1 - s_I), \quad \gamma_I = \Delta t s_I.$$

# Discretização do QAA

Assim,

$$U(T)|s\rangle \approx \left( \prod_{l=p-1}^0 e^{-i\beta_l B} e^{-i\gamma_l C} \right) |s\rangle = |\gamma, \beta\rangle.$$

- QAOA  $\approx$  discretização de uma evolução adiabática contínua.
- Parâmetros  $(\gamma_l, \beta_l)$  codificam “passos” da interpolação.
- Para  $p$  grande (passos pequenos), aproxima-se a evolução contínua.

## Considerações

- QAOA constrói estados variacionais com camadas alternadas:

$$U(C, \gamma_I) \text{ (custo)} \quad \text{e} \quad U(B, \beta_I) \text{ (mistura)}.$$

- Otimizando os  $2p$  ângulos maximizamos

$$F_p(\gamma, \beta) = \langle \gamma, \beta | C | \gamma, \beta | \cdot \rangle$$

- Aumentar  $p$  aumenta expressividade e conecta-se ao limite adiabático:

$$\lim_{p \rightarrow \infty} M_p = \max_{z \in X} C(z).$$

# QAOA (Qiskit)

Grafo para busca do corte máximo

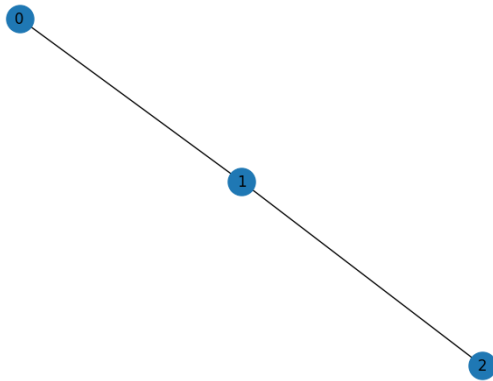


Figura 8: Grafo para uso no QAOA.

# QAOA (Qiskit)

Implementação em Qiskit (qaoa.ipynb).

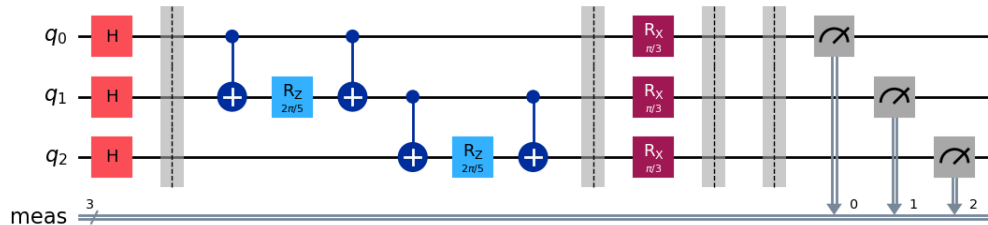


Figura 9: Circuito do QAOA.

# QAOA (Qiskit)

Corte máximo aparece com maior frequência.

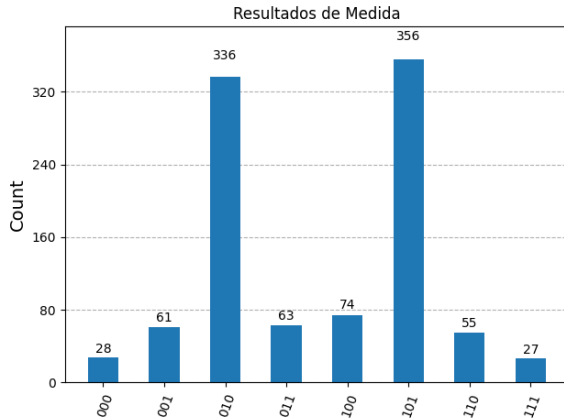


Figura 10: Histograma de medida com o resultado correto para o corte máximo.

# Agradecimentos

Muito obrigado!